

第八章：离散傅里叶变换

- ◆ 8.1 周期序列的表示：离散傅里叶级数
- ◆ 8.2 离散傅里叶级数的性质
- ◆ 8.3 周期信号的傅里叶变换
- ◆ 8.4 傅里叶变换采样
- ◆ 8.5 有限长序列的傅里叶表示：离散傅里叶变换
- ◆ 8.6 离散傅里叶变换的性质
- ◆ 8.7 用离散傅里叶变换实现线性卷积
- ◆ 8.8 离散余弦变换 (DCT)

8.7 用离散傅里叶变换实现线性卷积

◆ 用DFT实现循环卷积方法：

1) 分别计算有限长序列 $x_1[n]$ 和 $x_2[n]$ 的DFT $X_1[k]$ 和 $X_2[k]$ 。

2) 计算矢量乘积 $X_3[k] = X_1[k] X_2[k]$ 。

3) 计算 $X_3[k]$ 的DFT反变换得到序列 $x_3[n] = x_1[n] \stackrel{(\bar{N})}{\circledast} x_2[n]$ 。

大多数的数字信号与系统处理采用线性卷积。

因此，需要找到采用循环卷积实现线性卷积的方法。



8.7.1 两个有限长序列的线性卷积

◆ 线性卷积

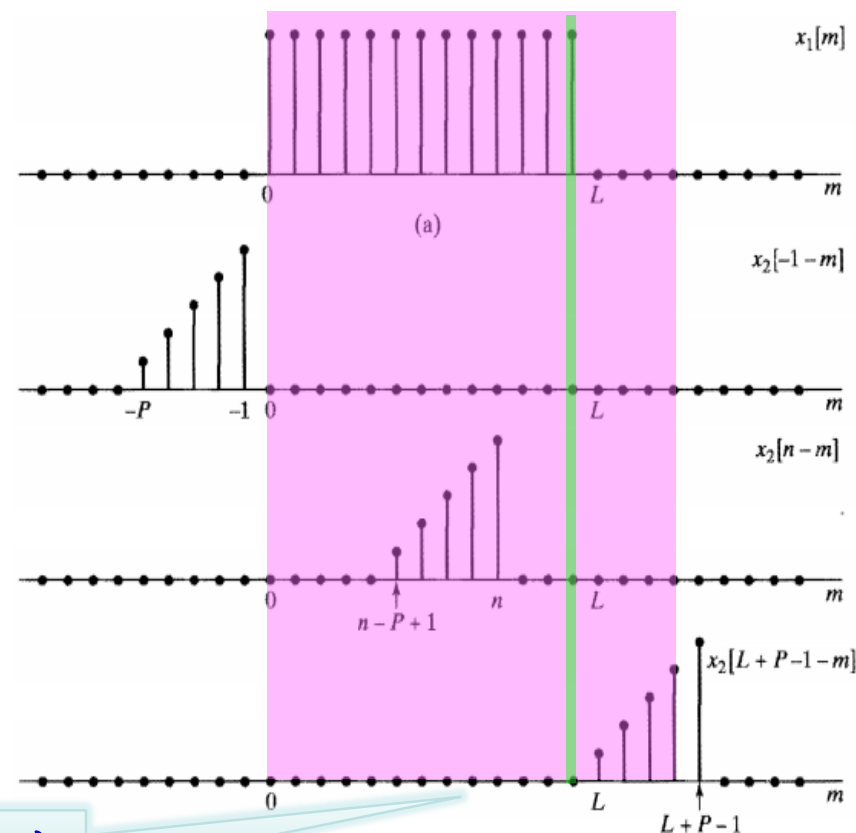
长度为 L 的序列 $x_1[n]$ 和长度为 P 的序列 $x_2[n]$ 线性卷积

$$x_3[n] = \sum_{m=-\infty}^{\infty} x_1[m] x_2[n-m]$$

对于右图定义的 $x_1[n]$ 和 $x_2[n]$ ，线性卷积输出为

$$x_3[n] = \sum_{m=0}^{L-1} x_1[m] x_2[n-m]$$

$$0 \leq n \leq L+P-2$$



线性卷积输出序列长度为 $L+P-1$

8.7.2 循环卷积作为带混叠的线性卷积

◆ 循环卷积的混叠

如果对某一序列 $x[n]$ 的傅里叶变换 $X(e^{j\omega})$ 在频率 $\omega_k = 2\pi k/N$ 处采样, 可得对应周期为 N 的周期序列

$$\tilde{x}[n] = \sum_{r=-\infty}^{\infty} x[n - rN]$$

的DFS系数序列 $\tilde{X}[k]$ 。

由DFS与DFT的关系, $\tilde{x}[n]$ 的一个周期的序列的DFT可表示为

$$X[k] = \begin{cases} X(e^{j(2\pi k/N)}), & 0 \leq k \leq N-1 \\ 0, & \text{其它} \end{cases}$$

由 $X[k]$ 的IDFT, 可得 $\tilde{x}[n]$ 的一个周期的序列为

$$x_p[n] = \begin{cases} \tilde{x}[n], & 0 \leq n \leq N-1 \\ 0, & \text{其它} \end{cases}$$

任何有限长序列的FT按 $2\pi k/N$ 采样的序列的IDFT序列为原序列按周期 N 拓展 (叠加) 后一个周期的序列值

若 $x[n]$ 的长度 $\leq N$, 则 $x_p[n]$ 不会产生时间混叠, 且 $x_p[n] = x[n]$

若 $x[n]$ 的长度 $> N$, 则对于一些或全部 n , 存在 $x_p[n] \neq x[n]$



8.7.2 循环卷积作为带混叠的线性卷积

◆ 从有限长序列的线性卷积到循环卷积

由长度分别为 L 和 P 的序列 $x_1[n]$ 和 $x_2[n]$ 的 **线性卷积**

$$x_3[n] = x_1[n] * x_2[n] = \sum_{m=-\infty}^{\infty} x_1[m] x_2[n-m]$$

序列 $x_3[n]$ 的
长度为 $L+P-1$

其 **傅里叶变换** 为 $X_3(e^{j\omega}) = X_1(e^{j\omega}) X_2(e^{j\omega})$

则 $X_3(e^{j\omega})$ 在 $2\pi k/N$ 处的采样值，可作为 **某个长度为 N 的序列的 DFT**,

$$X'_3[k] = X_3(e^{j(2\pi k/N)}) = X_1(e^{j(2\pi k/N)}) X_2(e^{j(2\pi k/N)}) = X_1[k] X_2[k], \quad 0 \leq k \leq N-1$$

将卷积输出 $x_3[n]$ 按 **周期 N 拓展**，再截取 **一个周期的序列** 可表示为

当 $N \geq L+P-1$,
 $x_{3p}[n] = x_3[n]$

$$X_3[k] = X'_3[k] \xleftrightarrow{\text{IDFT}} x_{3p}[n] = \begin{cases} \sum_{r=-\infty}^{\infty} x_3[n-rN], & 0 \leq n \leq N-1 \\ 0 & \text{其它} \end{cases}$$

即 $X_3[k] = X'_3[k] = X_1[k] X_2[k], \quad 0 \leq k \leq N-1$

由 DFT 性质， $x_{3p}[n]$ 为有限长序列

$$x_3[n] = x_{3p}[n] = x_2[n] \circledast x_1[n]$$

结论：两个序列（长度 L 和 P 小于 N ）的 N 点 **循环卷积** 为其 **线性卷积** 输出序列以周期 N 拓展（叠加）后可得 **一个周期的序列值**，（该周期拓展可能存在混叠）；仅当 $N \geq L+P-1$ ， N 点的循环卷积值等于线性卷积值

8.7.2 循环卷积作为带混叠的线性卷积

◆ 示例：循环卷积等效为带混叠的线性卷积（等长序列）

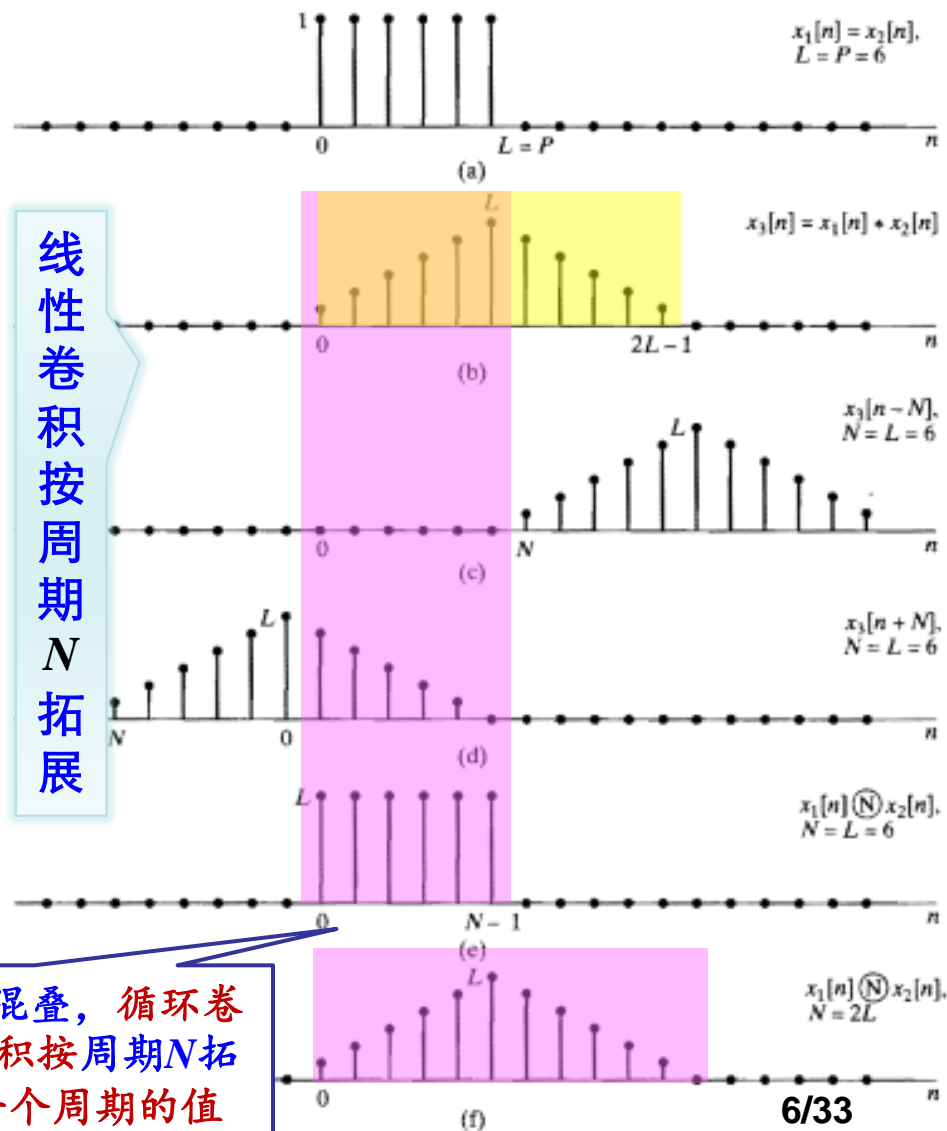
序列 $x_1[n]$ 和 $x_2[n]$ 长度为 $L=P=6$
比较 N 点循环卷积与线性卷积

序列 $x_1[n]$ 和 $x_2[n]$ 线性卷积长度为 $L+P-1=2L-1=11$

当 $N=L=6$ 时，循环卷积的全部序列值与线性卷积**完全不同**。

当 $N \geq L+P-1$ 时，则可避免时间混叠，且循环卷积与线性卷积**相同**。

不管是否存在混叠，循环卷积均为线性卷积按周期 N 拓展（叠加）后一个周期的值

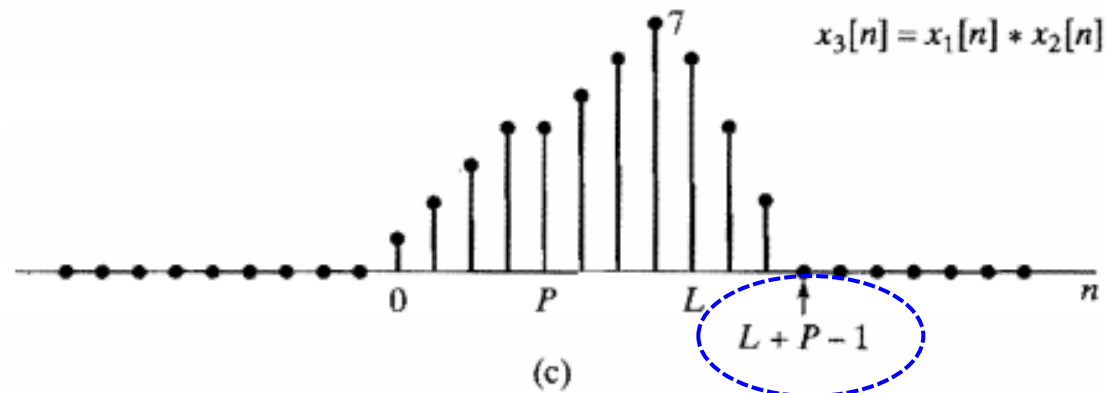
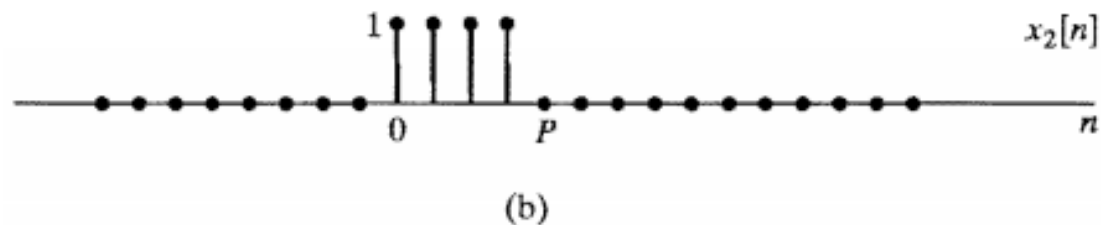
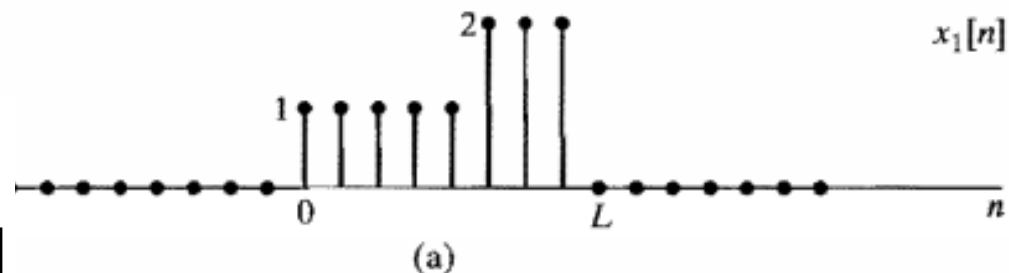


8.7.2 循环卷积作为带混叠的线性卷积

◆ 示例（线性卷积）：长度为 L 的序列 $x_1[n]$ 与长度为 P 的序列 $x_2[n]$ 的线性卷积，其中 $P < L$ 。

$$x_3[n] = x_1[n] * x_2[n]$$

$$= \sum_{m=-\infty}^{\infty} x_1[m] x_2[n-m]$$



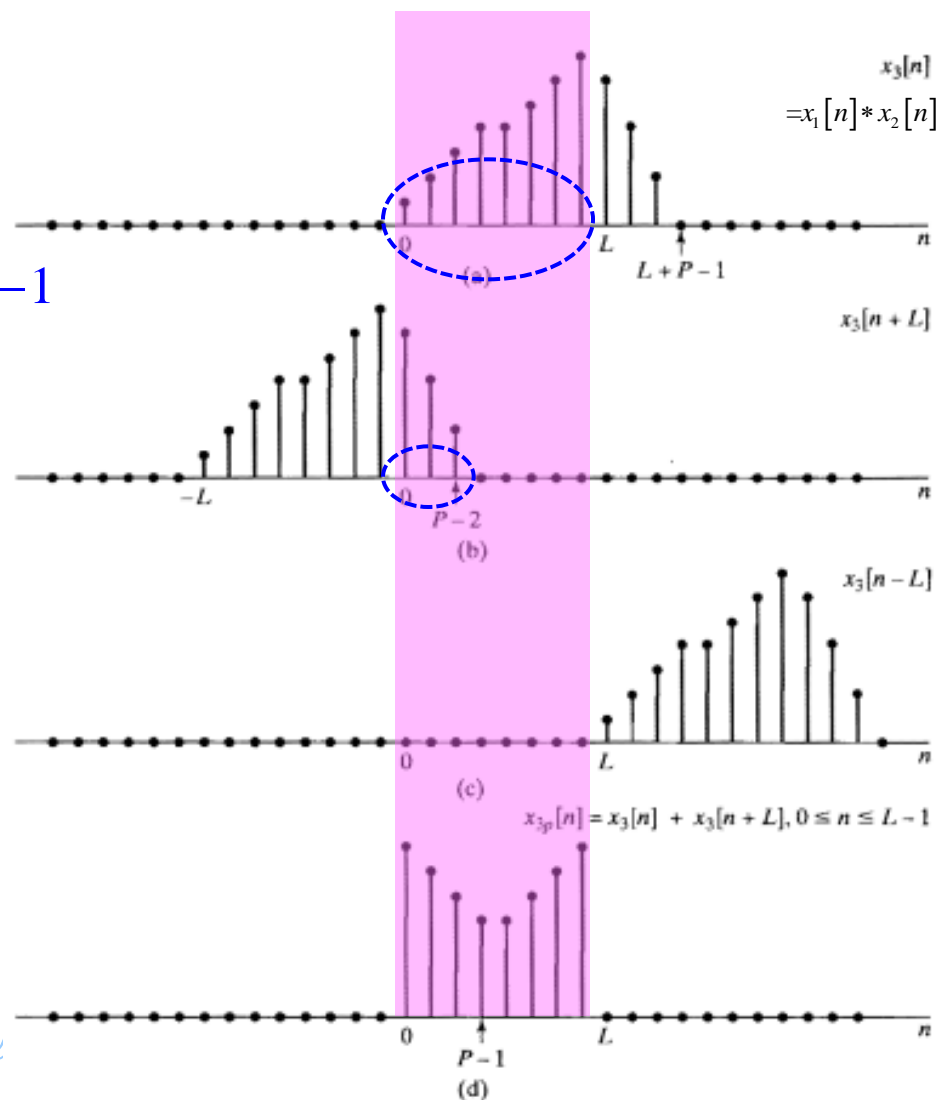
8.7.2 循环卷积作为带混叠的线性卷积

◆ 示例（循环卷积）：长度为 L 的序列 $x_1[n]$ 和长度为 P 的序列 $x_2[n]$
 L 点循环卷积，其中 $P < L$ 。

$$x_{3p}[n] = x_1[n] \textcircled{L} x_2[n]$$
$$= \begin{cases} \sum_{r=-\infty}^{\infty} x_3[n - rL], & 0 \leq n \leq L-1 \\ 0, & \text{其它} \end{cases}$$

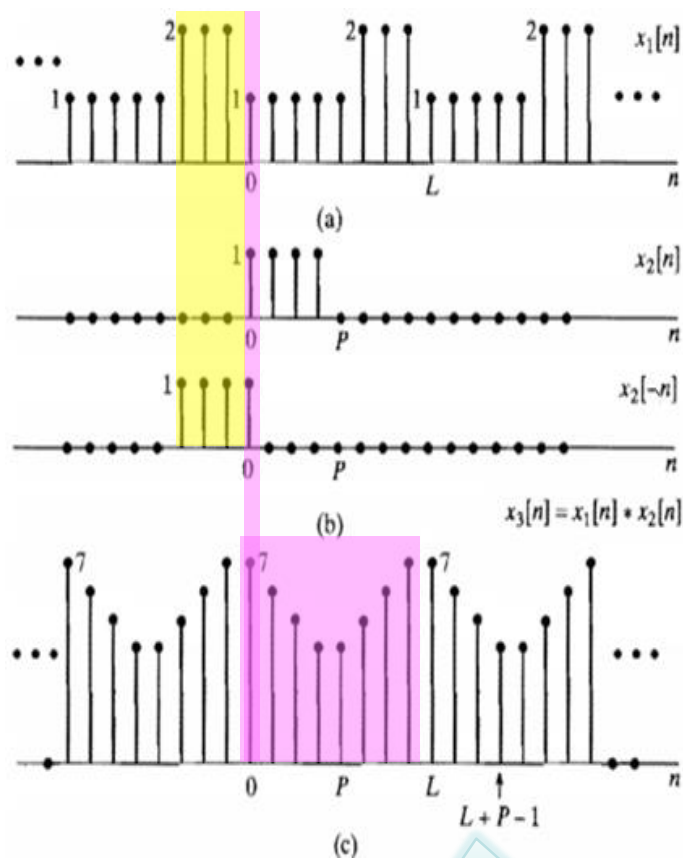
在区间 $0 \leq n \leq L-1$ 内， $x_{3p}[n]$ 只受 $x_3[n]$ 和 $x_3[n+L]$ 影响。

当 $P < L$ 时， $x_3[n]$ 的前 L 个点与 $x_3[n+L]$ 的最后 $(P-1)$ 个点共同作用（叠加），实现 L 点循环卷积。

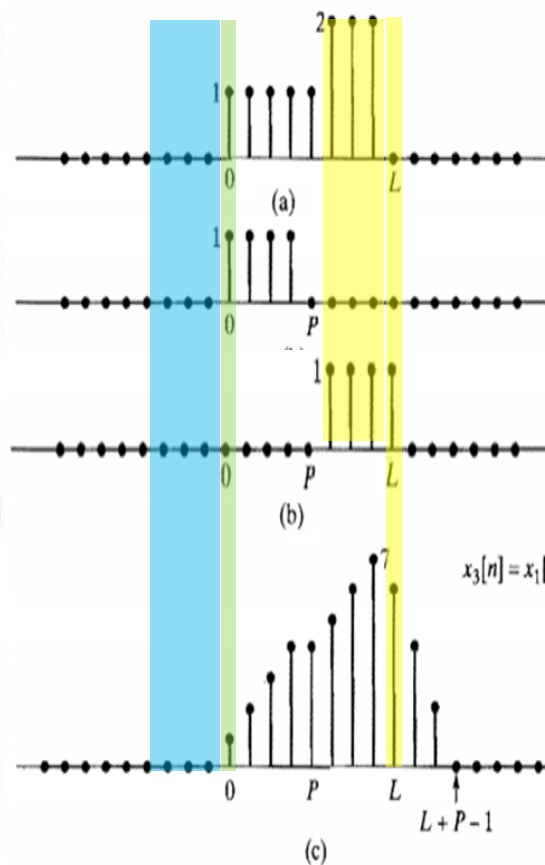


8.7.2 循环卷积作为带混叠的线性卷积

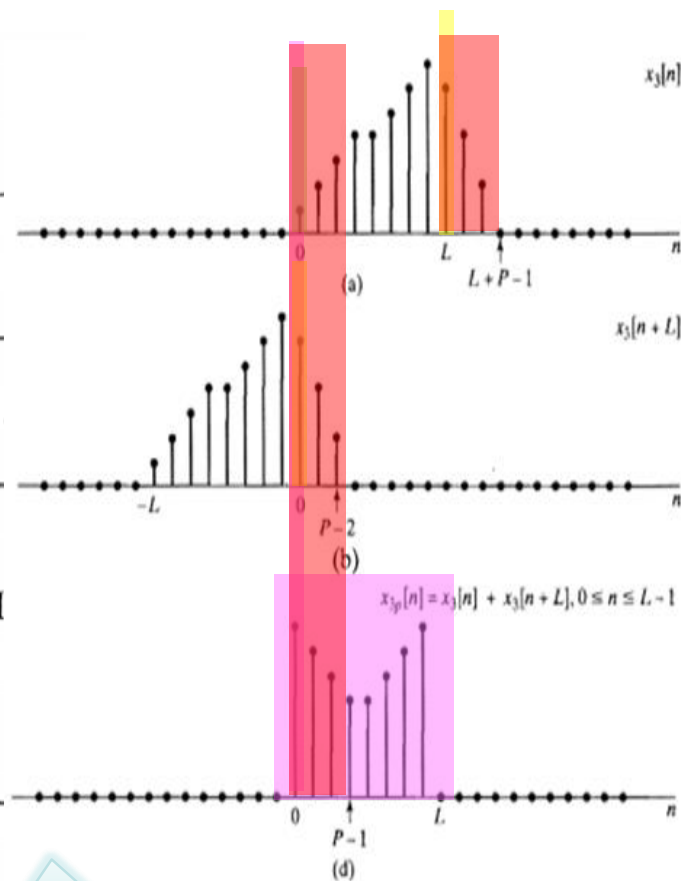
◆ 周期序列（周期 L ）与有限长序列的周期线性卷积



◆ 两个有限长序列的线性卷积 ($L+P-1$)



◆ 两个有限长序列的循环卷积 (L 点)



输出序列无限长

输出序列有限长



8.7.2 循环卷积作为带混叠的线性卷积

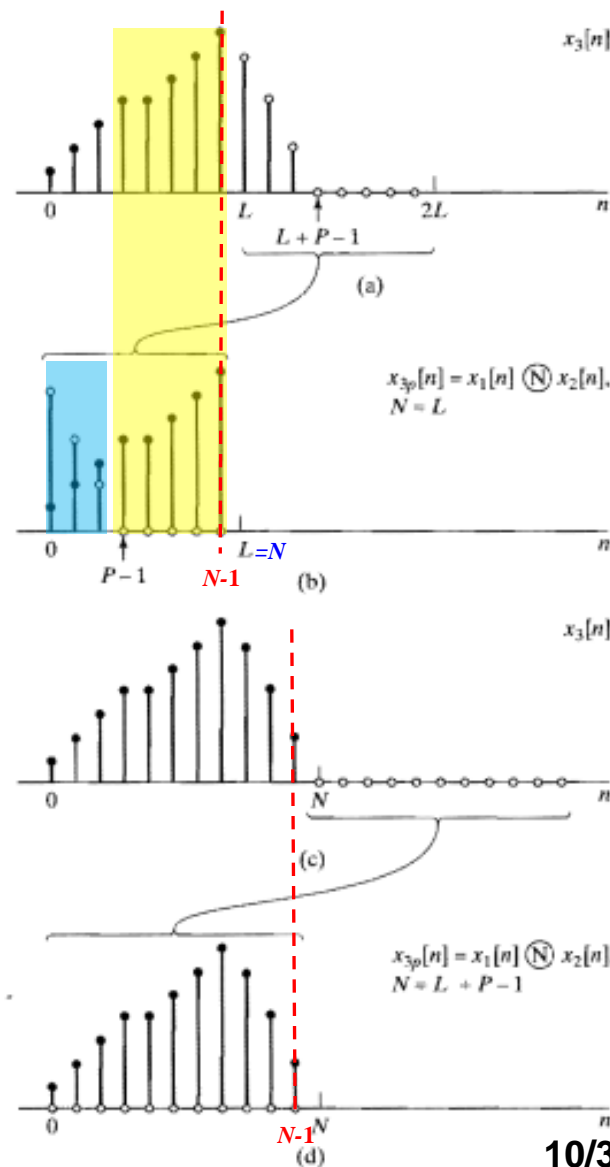
◆ 示例：循环卷积与线性卷积等效

序列 $x_1[n]$ 和 $x_2[n]$ 长度分别为 $L=8$, $P=4$ 。

当 $N=L>P$ 时， N 点循环卷积为线性卷积前 L 点与后 L 点（后 $P-1$ 个非零值再添加 $L-P+1$ 个零）的循环叠加；

并且， N 点循环卷积的仅前 $P-1$ 个点有时间混叠，但后 $L-P+1$ 个点与线性卷积结果相同。

当 $N=L+P-1$ 时， N 点循环卷积为线性卷积前 $L+P-1$ 点与后 $L+P-1$ 个零的循环叠加，导致无时间混叠，此时，循环卷积与线性卷积完全相同。



8.7.3 用DFT实现线性时不变系统

通过补足够长的零，可以用DFT实现两个有限长序列的线性卷积。

对于线性时不变系统，系统脉冲响应为有限长序列，而信号可以（近似）无限长。

从实现复杂度和处理时延方面，无法直接应用一次DFT实现线性时不变系统。

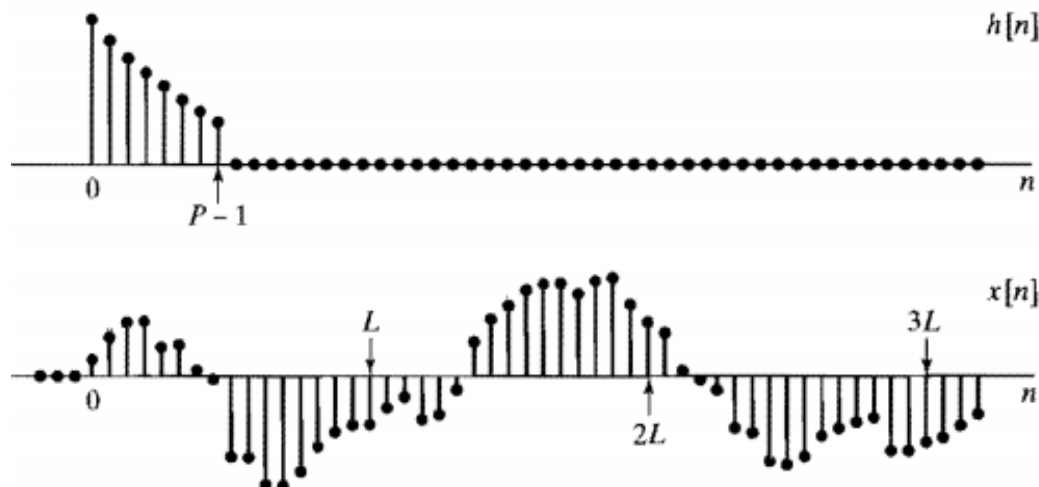
为便于基于有限长序列的DFT工程实现，必须对输入的无限长序列进行分段处理

用DFT实现线性卷积（系统）的核心思想：利用循环卷积实现线性卷积，再利用DFT实现循环卷积。



8.7.3 用DFT实现线性时不变系统

信号 $x[n]$ 经过系统 $h[n]$ (脉冲响应长度为 P)，并且 $x[n]$ 的长度要比 P 大得多，而且 $x[n] = 0, n < 0$ 。



为便于利用DFT实现卷积，须将无限长序列分段后，分别实现卷积。

块卷积：将输入信号分割为固定长度的**序列段**，采用DFT方式，分别实现每段与脉冲响应**线性卷积**，再采用适当方法**衔接各卷积段**。

8.7.3 用DFT实现线性时不变系统

◆ 块卷积方法一：重叠相加法（重叠针对块卷积输出序列）

- 1) 将输入信号分割形成长度为 L 的序列段
- 2) 分别实现各个序列段与（长度为 P ）脉冲响应进行线性卷积（与 $L+P-1$ 点循环卷积相同，即可用 $L+P-1$ 点DFT实现）
- 3) 将相邻两段线性卷积输出中（长度为 $P-1$ ）尾部与首部叠加后，再级联，形成无限长信号与有限长脉冲响应LTI系统的线性卷积

8.7.3 用DFT实现线性时不变系统

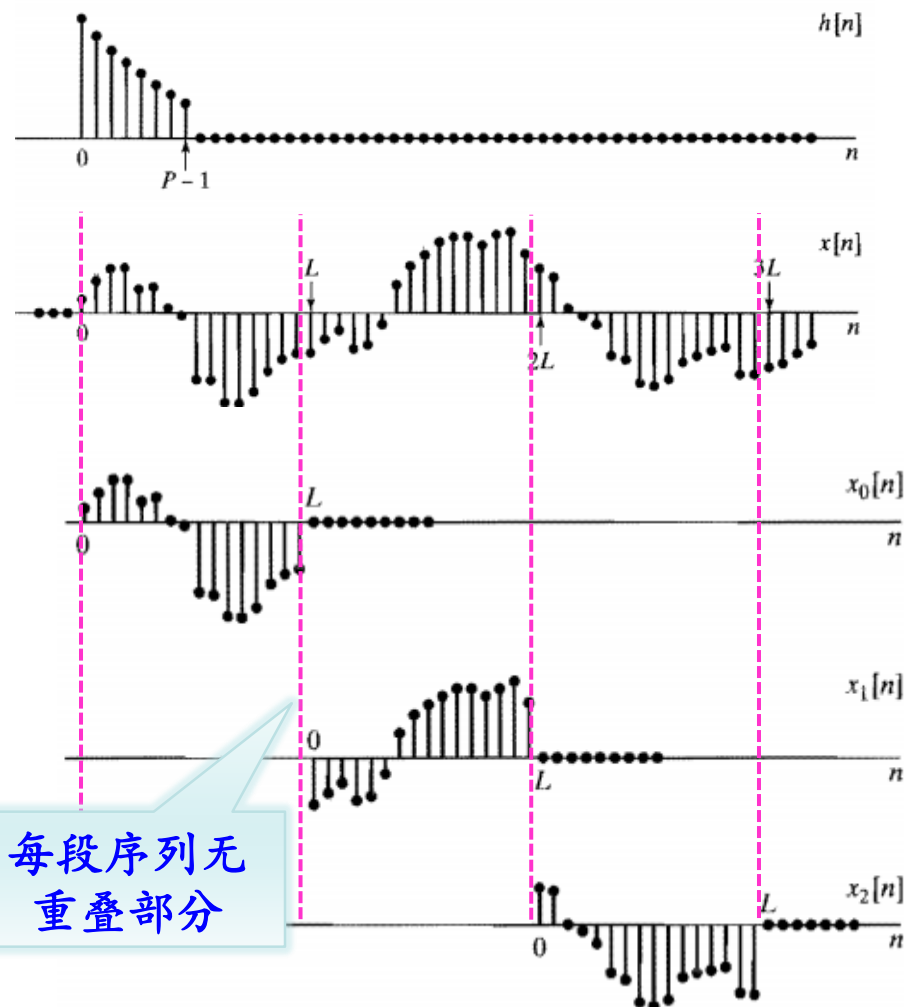
◆ 重叠相加法

序列 $x[n]$ 可表示成无穷多个长度为 L 的序列的移位叠加，即

$$x[n] = \sum_{r=0}^{\infty} x_r[n - rL]$$

式中

$$x_r[n] = \begin{cases} x[n + rL], & 0 \leq n \leq L-1 \\ 0, & \text{其它} \end{cases}$$



8.7.3 用DFT实现线性时不变系统

◆ 重叠相加法

信号 $x[n]$ 通过脉冲响应为 $h[n]$ 的系统，输出可表示为

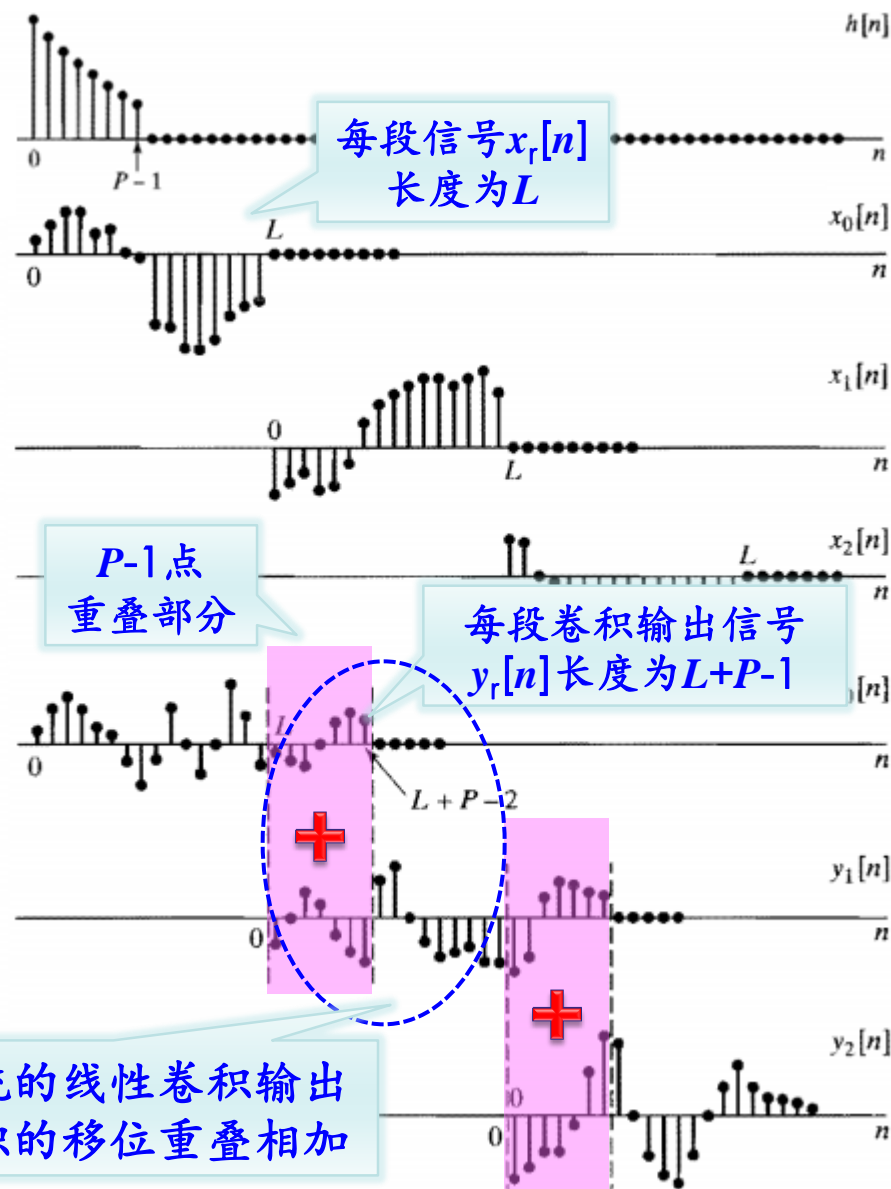
$$y[n] = x[n] * h[n] = \sum_{r=0}^{\infty} y_r[n - rL]$$

式中 $y_r[n] = x_r[n] * h[n]$

每段（长度为 $L+P-1$ ）线性卷积输出序列 $y_r[n]$ 的尾部（ $P-1$ ）个非零点将与其下一段序列首部（ $P-1$ ）个点重叠

根据线性卷积与循环卷积等效关系，每段线性卷积 $y_r[n]$ 可由 $N=L+P-1$ 点DFT实现

信号与系统的线性卷积输出为每段卷积的移位重叠相加



8.7.3 用DFT实现线性时不变系统

◆ 块卷积方法二：重叠保留法（重叠针对输入序列段）

- 1) 将输入信号分割形成长度为 L 的序列段
- 2) 分别实现各个序列段与有限长脉冲响应进行 L 点循环卷积（可采用 L 点DFT实现）
- 3) 删除每段循环卷积输出中首部混叠部分（长度 P ），获得对应于线性卷积的部分
- 4) 将线性卷积部分级联（非叠加），形成无限长信号与有限长脉冲响应LTI系统的线性卷积

若重叠针对块卷积输出，应命名为重叠删除法。



8.7.3 用DFT实现线性时不变系统

◆ 重叠保留法

长度为 L 的序列段定义为

$$x_r[n] = x[n + r(L - P + 1) - P + 1]$$

$$, \quad 0 \leq n \leq L - 1$$

- 每段序列 $x_r[n]$ 与脉冲响应为 $h[n]$ 的系统进行 L 点循环卷积的输出为

$$y_{rp}[n] = x_r[n] \odot h[n],$$

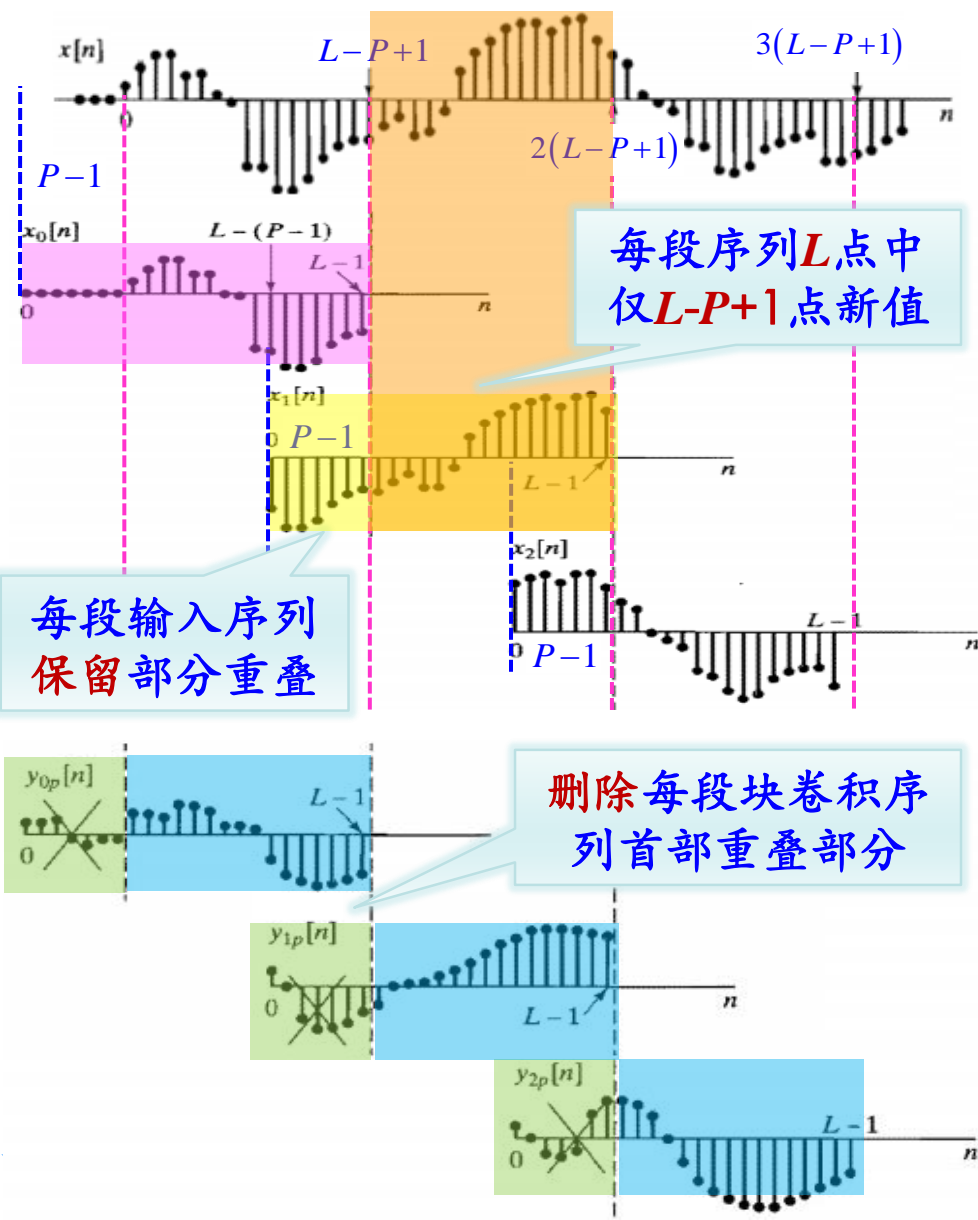
$$0 \leq n \leq L - 1$$

- 将各循环卷积输出序列中有时间混叠的前 $P-1$ 个点用零代替，获得与线性卷积尾部相同的序列段

$$y_r[n] = \begin{cases} 0, & 0 \leq n \leq P - 2 \\ y_{rp}[n], & P - 1 \leq n \leq L - 1 \end{cases}$$

- 将获得的长度为 L 的块卷积序列段级联，可得LTI系统的输出为

$$y[n] = \sum_{r=0}^{\infty} y_r[n - r(L - P + 1) + P - 1]$$



第八章：离散傅里叶变换

- ◆ 8.1 周期序列的表示：离散傅里叶级数
- ◆ 8.2 离散傅里叶级数的性质
- ◆ 8.3 周期信号的傅里叶变换
- ◆ 8.4 傅里叶变换采样
- ◆ 8.5 有限长序列的傅里叶表示：离散傅里叶变换
- ◆ 8.6 离散傅里叶变换的性质
- ◆ 8.7 用离散傅里叶变换实现线性卷积
- ◆ 8.8 离散余弦变换 (DCT)

8.8 离散余弦变换 (DCT)

一般类型的有限长变换表达式为

$$\begin{cases} A[k] = \sum_{n=0}^{N-1} x[n] \phi_k^*[n] \\ x[n] = \frac{1}{N} \sum_{k=0}^{N-1} A[k] \phi_k[n] \end{cases}$$

其中序列 $\phi_k[n]$ 称为基序列，具有正交性

$$\frac{1}{N} \sum_{n=0}^{N-1} \phi_k[n] \phi_m^*[n] = \begin{cases} 1, & m = k \\ 0, & m \neq k \end{cases}$$

例如：在DFT中，基序列为复序列 $e^{j(2\pi/N)kn}$ ， $0 \leq k \leq N-1$

对于DFT，即使输入为实序列，变换输出也为复序列。

通过采用实基序列，可实现从实序列到实序列的变换。

离散余弦变换 (DCT) 即是一种基于实基序列的变换。



8.8.1 DCT的定义

DCT的定义（式） 取决于由有限长序列构造**周期对称**序列所采用的**周期延拓**的方式。

◆ **示例：4种周期延拓方式（对应4种DCT定义）**

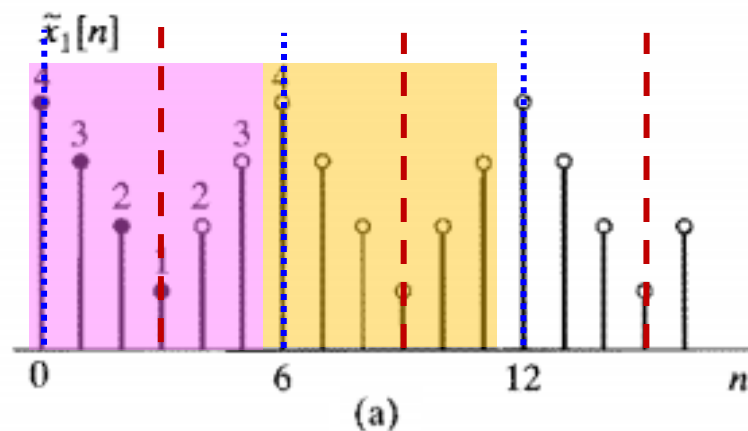
长度为 $N=4$ 的有限长序列

1型（对称）周期拓展（DCT-1）：

$\tilde{x}_1[n]$ 的周期为： $2N-2=6$

$\tilde{x}_1[n]$ 关于**样点** $n=0,3$ 或 $n=r(N-1)$

（ r 为整数）偶周期对称

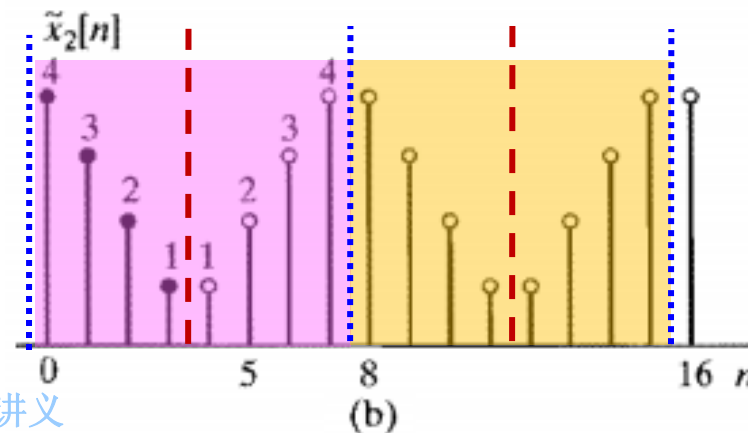


2型（对称）周期拓展（DCT-2）：

$\tilde{x}_2[n]$ 的周期为： $2N=8$

$\tilde{x}_2[n]$ 关于**半样点** $n=-1/2$ 和 $7/2$

或 $n=rN-1/2$ 偶周期对称



8.8.1 DCT的定义

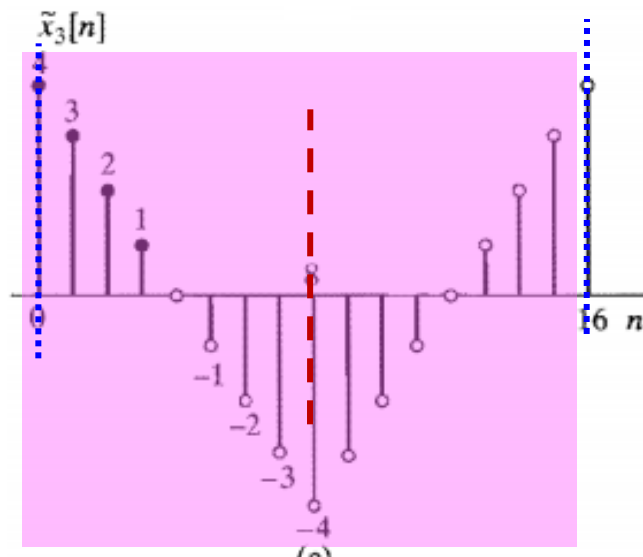
◆ 示例：4种周期延拓方式（对应4种DCT定义）（续）

3型（反对称）周期拓展（DCT-3）：

$\tilde{x}_3[n]$ 的周期为： $4N = 16$

$\tilde{x}_3[n]$ 关于样点 $n = 0$ 和 $n = 8$ ，

或 $n = r \cdot 2N$ 偶周期对称

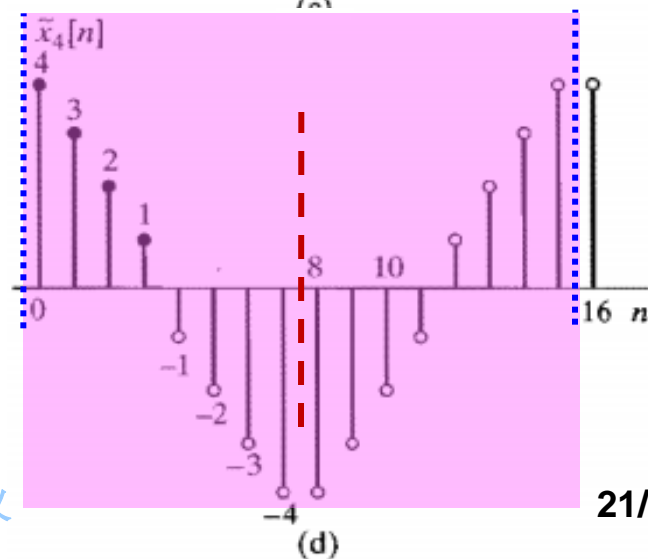


4型（反对称）周期拓展（DCT-4）：

$\tilde{x}_4[n]$ 的周期为： $4N = 16$

$\tilde{x}_4[n]$ 关于半样点 $n = -1/2$ 和 $15/2$ ，

或 $n = r \cdot 2N - 1/2$ 偶周期对称



8.8.2 DCT-1和DCT-2定义

◆ DCT-1定义

对于DCT-1, N 点序列 $x[n]$ 先在端点处作改变, 再以周期 $2N-2$ 延拓, 所得周期序列为

$$\tilde{x}_1[n] = x_\alpha \left[\left((n) \right)_{2N-2} \right] + x_\alpha \left[\left((-n) \right)_{2N-2} \right]$$

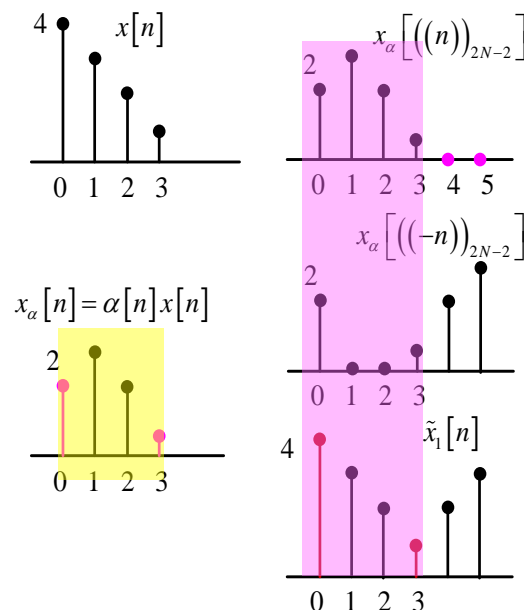
式中 $x_\alpha[n] = \alpha[n]x[n]$, 其中

$$\alpha[n] = \begin{cases} 1/2, & n = 0, N-1 \\ 1, & 1 \leq n \leq N-2 \end{cases}$$

容易证明: $x[n] = \tilde{x}_1[n]$, $n = 0, \dots, N-1$, 并且 $\tilde{x}_1[n]$ 关于 $n = r(N-1)$, (r 为整数) 偶周期对称, 即该对称性为1型周期对称

DCT-1变换对定义为

$$\begin{cases} X^{c1}[k] = 2 \sum_{n=0}^{N-1} \alpha[n] x[n] \cos\left(\frac{\pi kn}{N-1}\right), & 0 \leq k \leq N-1 \\ x[n] = \frac{1}{N-1} \sum_{k=0}^{N-1} \alpha[n] X^{c1}[k] \cos\left(\frac{\pi kn}{N-1}\right), & 0 \leq n \leq N-1 \end{cases}$$



8.8.2 DCT-1和DCT-2定义

◆ DCT-2定义

对于DCT-2, N 点序列 $x[n]$ 进行周期为 $2N$ 的延拓, 得周期序列为

$$\tilde{x}_2[n] = x\left[\left((n)\right)_{2N}\right] + x\left[\left((-n-1)\right)_{2N}\right]$$

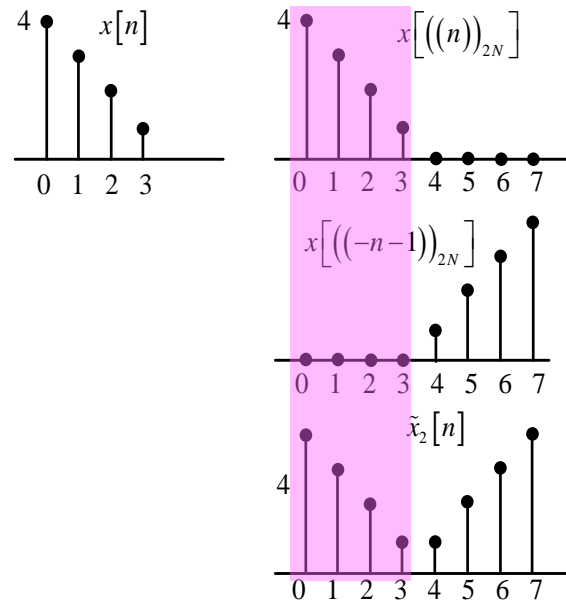
由于不存在端点重叠, 无需端点加权即可保证 $x[n] = \tilde{x}_2[n]$,
 $n=0, \dots, N-1$, 并且 $\tilde{x}_2[n]$ 关于半样点 $n=-1/2$, 或 $n=rN-1/2$
(r 为整数) 偶周期对称, 即该对称称为2型周期对称

DCT-2变换对定义为

$$\begin{cases} X^{c2}[k] = 2 \sum_{n=0}^{N-1} x[n] \cos\left(\frac{\pi k(2n-1)}{2N}\right), & 0 \leq k \leq N-1 \\ x[n] = \frac{1}{N} \sum_{k=0}^{N-1} \beta[k] X^{c2}[k] \cos\left(\frac{\pi k(2n+1)}{2N}\right), & 0 \leq n \leq N-1 \end{cases}$$

式中DCT-2反变换加权函数为

$$\beta[k] = \begin{cases} 1/2, & k=0 \\ 1, & 1 \leq k \leq N-1 \end{cases}$$



8.8.2 DCT-1和DCT-2定义

◆ DCT酉式变换对（能量归一化）

DCT-1酉式变换对定义为

$$\begin{cases} X^{c1}[k] = \sqrt{\frac{2}{N-1}} \sum_{n=0}^{N-1} \tilde{\alpha}[n] x[n] \cos\left(\frac{\pi kn}{N-1}\right), & 0 \leq k \leq N-1 \\ x[n] = \sqrt{\frac{2}{N-1}} \sum_{k=0}^{N-1} \tilde{\alpha}[k] X^{c1}[k] \cos\left(\frac{\pi kn}{N-1}\right), & 0 \leq n \leq N-1 \end{cases}$$

$$\alpha[n] = \begin{cases} 1/2, & n=0, N-1 \\ 1, & 1 \leq n \leq N-2 \end{cases}$$

$$\begin{cases} X^{c1}[k] = 2 \sum_{n=0}^{N-1} \alpha[n] x[n] \cos\left(\frac{\pi kn}{N-1}\right), & 0 \leq k \leq N-1 \\ x[n] = \frac{1}{N-1} \sum_{k=0}^{N-1} \alpha[k] X^{c1}[k] \cos\left(\frac{\pi kn}{N-1}\right), & 0 \leq n \leq N-1 \end{cases}$$

加权函数为 $\tilde{\alpha}[n] = \begin{cases} \sqrt{1/2}, & n=0, N-1 \\ 1, & 1 \leq n \leq N-2 \end{cases}$

DCT-2酉式变换对定义为

$$\begin{cases} X^{c2}[k] = \sqrt{\frac{2}{N}} \tilde{\beta}[k] \sum_{n=0}^{N-1} x[n] \cos\left(\frac{\pi k(2n-1)}{2N}\right), & 0 \leq k \leq N-1 \\ x[n] = \sqrt{\frac{2}{N}} \sum_{k=0}^{N-1} \tilde{\beta}[k] X^{c2}[k] \cos\left(\frac{\pi k(2n+1)}{2N}\right), & 0 \leq n \leq N-1 \end{cases}$$

$$\beta[k] = \begin{cases} 1/2, & k=0 \\ 1, & 1 \leq k \leq N-1 \end{cases}$$

$$\begin{cases} X^{c2}[k] = 2 \sum_{n=0}^{N-1} x[n] \cos\left(\frac{\pi k(2n-1)}{2N}\right), & 0 \leq k \leq N-1 \\ x[n] = \frac{1}{N} \sum_{k=0}^{N-1} \beta[k] X^{c2}[k] \cos\left(\frac{\pi k(2n+1)}{2N}\right), & 0 \leq n \leq N-1 \end{cases}$$

式中加权函数为

$$\tilde{\beta}[k] = \begin{cases} \sqrt{1/2}, & k=0 \\ 1, & 1 \leq k \leq N-1 \end{cases}$$



8.8.2 DCT-1和DCT-2定义

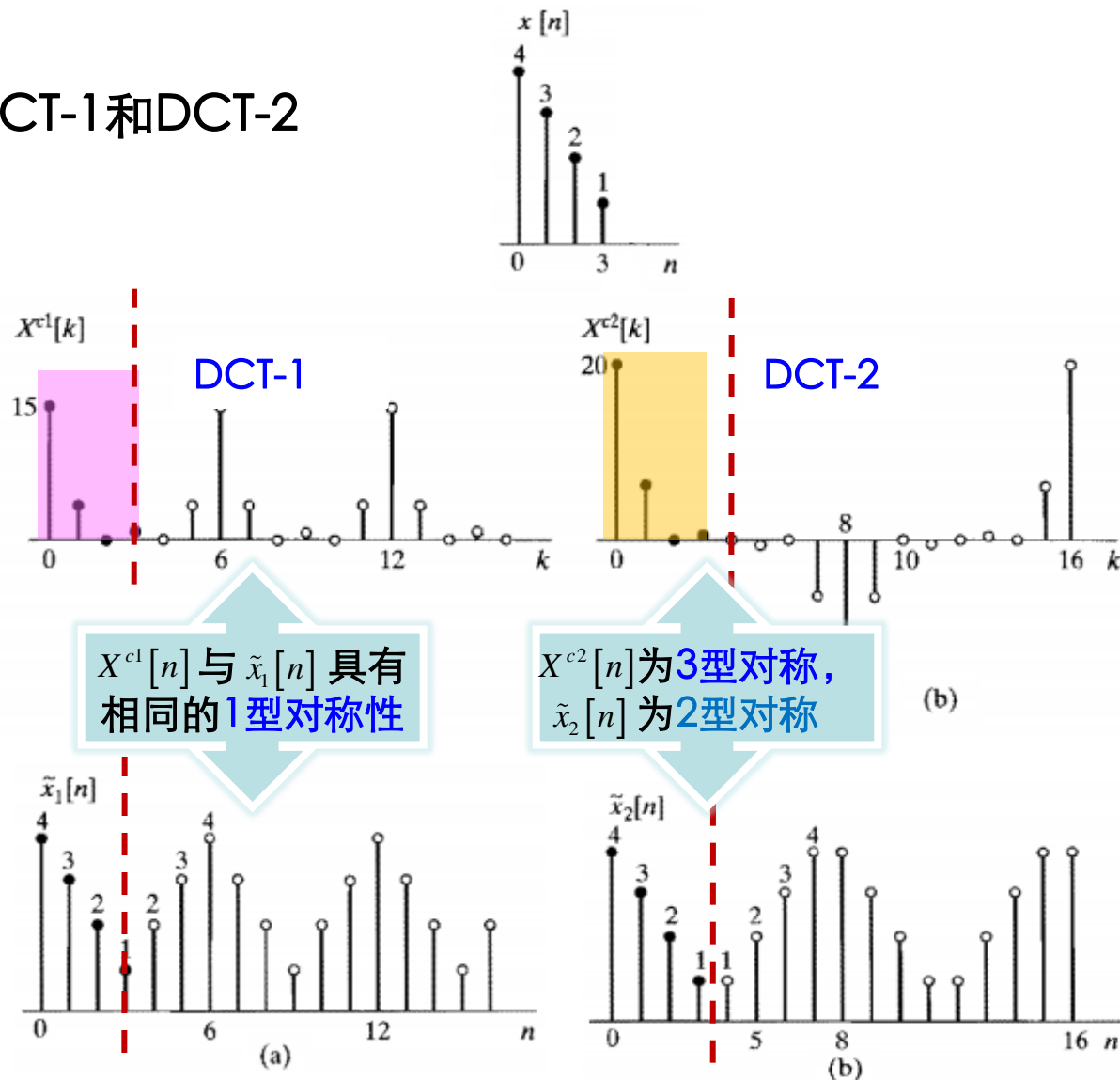
◆ DCT-1和DCT-2示例

长度 $N=4$ 的序列 $x[n]$ 的DCT-1和DCT-2

1) DCT只定义在区间
 $0 \leq k, n \leq N-1$ ，**区间外**
的值不作要求。

2) DCT具有**周期性**，
定义区间外的值可由
周期拓展导出。

3) DCT**输出**的**对称性**
不一定与输入周期延
拓序列一致。



8.8.3 DFT与DCT-1的关系

对于DCT-1, $\tilde{x}_1[n]$ 是由 $x_1[n]$ 按周期 $2N-2$ 进行延拓, 一个周期定义的有限长序列为

$$x_1[n] = x_\alpha \left[\left((n) \right)_{2N-2} \right] + x_\alpha \left[\left((-n) \right)_{2N-2} \right] = \tilde{x}_1[n], \quad n = 0, 1, \dots, 2N-3$$

式中 $x_\alpha[n] = \alpha[n]x[n]$, 是由 $x[n]$ 的两个端点除以2的N点实序列。

$x_1[n]$ 的(2N-2)点DFT为

通过构造对称序列, 利用DFT的对称性, 实现实数到实数的变换

$$X_1[k] = X_\alpha[k] + X_\alpha^*[k] = 2\operatorname{Re}\{X_\alpha[k]\}, \quad k = 0, 1, \dots, 2N-3$$

由于 $X_\alpha[k]$ 为N点序列 $x_\alpha[n]$ 补零后进行(2N-2)点DFT, 即有

$$X_\alpha[k] = \sum_{n=0}^{2N-3} \alpha[n]x[n]e^{-j2\pi kn/(2N-2)} = \sum_{n=0}^{N-1} \alpha[n]x[n]e^{-j2\pi kn/(2N-2)}, \quad k = 0, \dots, 2N-3$$

则有

$$X_1[k] = 2\operatorname{Re}\{X_\alpha[k]\} = 2\sum_{n=0}^{N-1} \alpha[n]x[n]\cos\left(\frac{2\pi kn}{2N-2}\right)$$

结论: N点序列 $x[n]$ 的DCT-1 ($X^{c1}[k]$) 与其样点对称延拓序列 ($x_1[n]$) 的2N-2点DFT ($X_1[k]$) 的前N个样值相同; 或与加权序列 ($x_\alpha[n]$) 的2N-2点DFT ($X_\alpha[k]$) 的前N个样值的2倍实部相同。



8.8.4 DFT与DCT-2的关系

对于DCT-2, $\tilde{x}_2[n]$ 是由 $x[n]$ 按周期 $2N$ 进行延拓, 一个周期定义的有限长序列为

$$x_2[n] = x\left[\left((n)\right)_{2N}\right] + x\left[\left((-n-1)\right)_{2N}\right] = \tilde{x}_2[n], \quad n = 0, 1, \dots, 2N-1$$

式中 $x[n]$ 为原 N 点实序列。

则, $x_2[n]$ 的 $2N$ 点DFT为

$$\begin{aligned} X_2[k] &= X[k] + X^*[k]e^{j2\pi k/(2N)}, \quad k = 0, 1, \dots, 2N-1 \\ &= e^{j\pi k/(2N)} 2\operatorname{Re}\left\{X[k]e^{-j\pi k/(2N)}\right\} \end{aligned}$$

其中 $X[k]$ 为 N 点序列 $x[n]$ 补 N 个零后进行 $2N$ 点DFT, 即有

$$2\operatorname{Re}\left\{X[k]e^{-j\pi k/(2N)}\right\} = 2\sum_{n=0}^{N-1} x[n]\cos(\pi k(2n+1)/2N)$$

则有 $X_2[k] = e^{j\pi k/(2N)} X^{c2}[k]$, or $X_2[k]e^{-j\pi k/(2N)} = X^{c2}[k]$, $k = 0, 1, \dots, N-1$

结论: N 点序列 $x[n]$ 的DCT-2 ($X^{c2}[k]$) 与其半样点对称延拓序列 ($x_2[n]$) 的 $2N$ 点DFT ($X_2[k]$) 的前 N 个样值乘上相位因子 ($e^{-j\pi k/(2N)}$) 后的序列相同。



8.8.5 DCT-2的能量压缩性质

有限长序列的DCT-2的系数通常比DFT更多地集中在较低序号的部分，即变换域的**能量更集中**或**能量压缩**了。

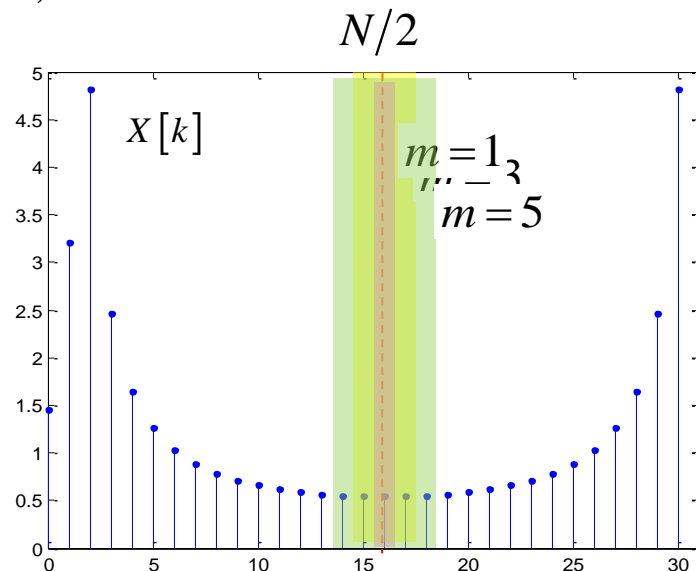
DCT-2和DFT能量压缩性能可通过变换域**截短逼近误差**性能来评估。

◆ 定义序列 $x[n]$ 的 **DFT截短逼近序列**为

$$x_m^{dft}[n] = \frac{1}{N} \sum_{k=0}^{N-1} T_m[k] X[k] e^{j2\pi kn/N}, \quad n=0,1,\dots,N-1$$

其中 $X[k]$ 为 $x[n]$ 的 **N 点 DFT**，并且

$$T_m[k] = \begin{cases} 1, & 0 \leq k \leq (N-1-m)/2 \\ 0, & (N+1-m)/2 \leq k \leq (N-1+m)/2 \\ 1, & (N-1+m)/2 \leq k \leq N-1 \end{cases}$$

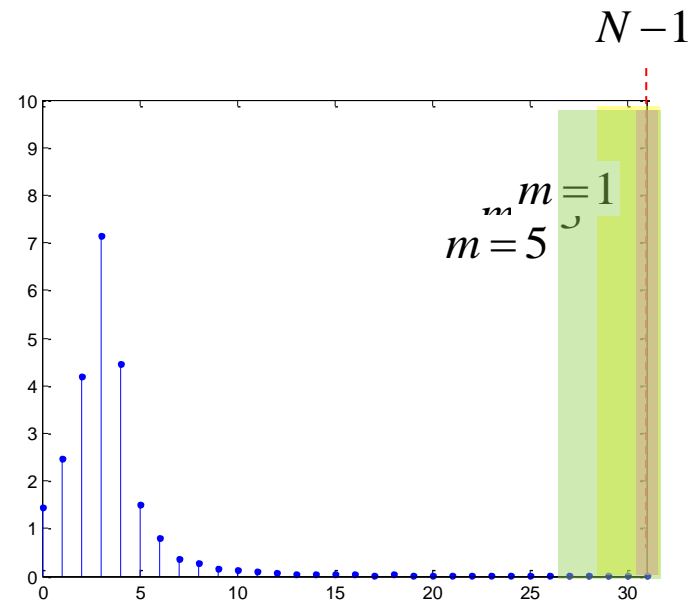


8.8.5 DCT-2的能量压缩性质

◆定义序列 $x[n]$ 的 **DCT截短逼近序列**为

$$x_m^{dct}[n] = \frac{1}{N} \sum_{k=0}^{N-1-m} \beta[k] X^{c2}[k] \cos\left(\frac{\pi k(2n+1)}{2N}\right)$$

, $n = 0, 1, \dots, N-1$



◆DFT和DCT**截短逼近误差**分别为

$$E^{dft}[m] = \frac{1}{N} \sum_{n=0}^{N-1} |x[n] - x_m^{dft}[n]|^2$$

$$E^{dct}[m] = \frac{1}{N} \sum_{n=0}^{N-1} |x[n] - x_m^{dct}[n]|^2$$

8.8.5 DCT-2的能量压缩性质

◆ 示例8.13 DCT-2的能量压缩

输入测试序列为 $x[n] = a^n \cos(\omega_0 n + \phi)$, $n = 0, 1, \dots, N-1$

其中 $a = 0.9$, $\omega_0 = 0.1\pi$, $\phi = 0$, $N = 32$

